

Placas Finas

Eduardo Lenz Cardoso

1 Hipóteses

O modelo de placa fina é obtido com as seguintes hipóteses:

1. Existe uma dimensão (espessura h) muito menor do que as demais dimensões;
2. A espessura está alinhada com a direção z ;
3. O plano médio da geometria é localizado em $z = 0$, plano XY ;
4. O topo e a base da placa estão a $\pm h/2$ do plano médio;
5. A espessura h da placa não se altera ao aplicarmos carregamentos;
6. O material é homogêneo e isotrópico, operando no regime linear e elástico;
7. A estrutura é submetida somente a momentos nas suas extremidades.



Figura 1: Plano médio da placa.

Com isso, podemos descrever o deslocamento de um ponto genérico da placa como

$$\mathbf{u} = \begin{Bmatrix} u(x, y, z) \\ v(x, y, z) \\ w(x, y) \end{Bmatrix} \quad (1)$$

onde $w(x, y)$ é o deslocamento vertical do plano médio.

Como a placa está submetida somente a momentos nas extremidades, podemos utilizar a hipótese das seções planas para descrever os deslocamentos $u(x, y, z)$ e $v(x, y, z)$ em função do deslocamento vertical do plano médio $w(x, y)$. Iniciando com uma vista lateral no plano YZ , conforme a figura 2.

Observamos que o deslocamento $v(x, y, z)$, em uma posição (x, y) qualquer, pode ser descrito por

$$v(x, y, z) = -\theta_y(x, y)z \quad (2)$$

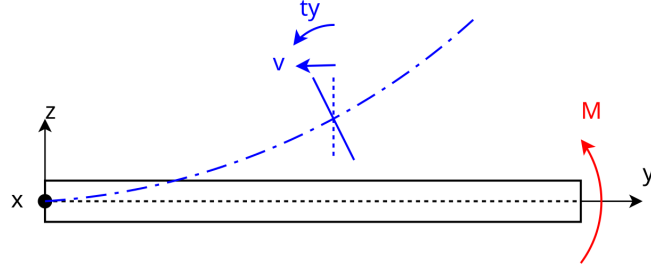


Figura 2: Rotação no plano YZ devido a um momento M_y positivo.

em que $\theta_y(x, y)$ é a rotação do plano médio em torno do eixo X . A notação de usar o índice y é padrão em vários livros e, embora eu não ache muito adequado, será utilizada aqui também.

A rotação $\theta_y(x, y)$, por sua vez, está associada a taxa de variação do deslocamento vertical

$$\theta_y(x, y) = \frac{\partial w(x, y)}{\partial y} \quad (3)$$

pois uma inclinação positiva faz com que o deslocamento $w(x, y)$ aumente quando andamos na direção positiva de y .

Estudando agora a vista lateral no plano XZ , figura 3,

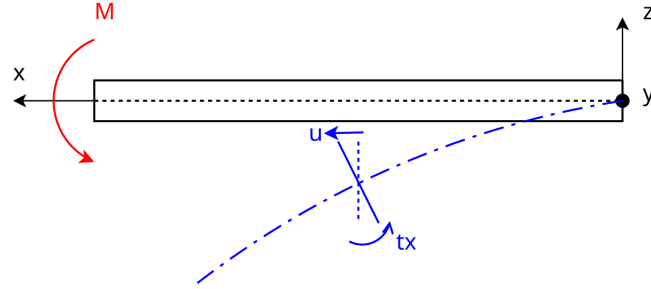


Figura 3: Rotação no plano XZ devido a um momento M_x positivo.

observamos que

$$u(x, y, z) = \theta_x(x, y)z \quad (4)$$

em que

$$\theta_x(x, y) = -\frac{\partial w(x, y)}{\partial x} \quad (5)$$

pois o deslocamento $w(x, y)$ fica mais negativo a medida que o x aumenta.

Tendo as expressões para deslocamentos, podemos calcular as deformações.

1.1 Deformações

Utilizando as relações entre deslocamentos e deformações (assumindo pequenas deformações)

$$\varepsilon_{xx}(x, y, z) = \frac{\partial u(x, y, z)}{\partial x} = -\frac{\partial}{\partial x} (\theta_x(x, y)z) = -\frac{\partial^2 w(x, y)}{\partial x^2} z, \quad (6)$$

$$\varepsilon_{yy}(x, y, z) = \frac{\partial v(x, y, z)}{\partial y} = -\frac{\partial}{\partial y} (\theta_y(x, y)z) = -\frac{\partial^2 w(x, y)}{\partial y^2} z, \quad (7)$$

$$\varepsilon_{zz}(x, y, z) = \frac{\partial w(x, y)}{\partial z} = 0, \quad (8)$$

$$\gamma_{xy}(x, y, z) = \frac{\partial u(x, y, z)}{\partial y} + \frac{\partial v(x, y, z)}{\partial x} = -2 \frac{\partial^2 w(x, y)}{\partial x \partial y} z, \quad (9)$$

$$\gamma_{xz}(x, y, z) = \frac{\partial u(x, y, z)}{\partial z} + \frac{\partial w(x, y)}{\partial x} = -\theta_x(x, y) + \theta_x(x, y) = 0 \quad (10)$$

e

$$\gamma_{yz}(x, y, z) = \frac{\partial v(x, y, z)}{\partial z} + \frac{\partial w(x, y)}{\partial y} = -\theta_y(x, y) + \theta_y(x, y) = 0 \quad (11)$$

tal que notamos que o modelo apresenta um estado plano de deformações **por coordenada z , ou "planos verticais"**.

As derivadas segundas estão associadas as **curvaturas**

$$\boldsymbol{\kappa}(x, y) = \left\{ \begin{array}{c} \kappa_x(x, y) \\ \kappa_y(x, y) \\ \kappa_{xy}(x, y) \end{array} \right\} = \left\{ \begin{array}{c} \frac{\partial^2 w(x, y)}{\partial x^2} \\ \frac{\partial^2 w(x, y)}{\partial y^2} \\ 2 \frac{\partial^2 w(x, y)}{\partial x \partial y} \end{array} \right\} \quad (12)$$

tal que

$$\boldsymbol{\varepsilon}(x, y, z) = -z \boldsymbol{\kappa}(x, y). \quad (13)$$

1.2 Tensões

Se estudarmos as tensões associadas a esse campo de deformações, obtemos

$$\sigma_{xx}(x, y, z) = C \varepsilon_{xx}(x, y, z) + \nu C \varepsilon_{yy}(x, y, z), \quad (14)$$

$$\sigma_{yy}(x, y, z) = \nu C \varepsilon_{xx}(x, y, z) + C \varepsilon_{yy}(x, y, z), \quad (15)$$

$$\sigma_{zz}(x, y, z) = \nu C \varepsilon_{xx}(x, y, z) + \nu C \varepsilon_{yy}(x, y, z), \quad (16)$$

e

$$\sigma_{xy}(x, y, z) = G \gamma_{xy}(x, y, z). \quad (17)$$

Com isso, verificamos que surge uma tensão normal em Z (direção da espessura), o que viola a hipótese de carregamento que fizemos no início da dedução. De fato, isso decorre do fato de termos feito a hipótese de altura constante, que não é verdade devido ao coeficiente de Poisson. Assim, vamos fazer uma **simplicação**, de que a tensão σ_{zz} é um artifício de modelo e que pode ser ignorada. Desta forma, podemos utilizar, por "camada" Z , um modelo de estado plano de tensões

$$\left\{ \begin{array}{c} \sigma_{xx} \\ \sigma_{yy} \\ \sigma_{xy} \end{array} \right\} (x, y, z) = \underbrace{\frac{E}{1 - \nu^2} \begin{bmatrix} 1 & \nu & 0 \\ \nu & 1 & 0 \\ 0 & 0 & \frac{1 - \nu}{2} \end{bmatrix}}_{\mathbf{Q}} \left\{ \begin{array}{c} \varepsilon_{xx} \\ \varepsilon_{yy} \\ \gamma_{xy} \end{array} \right\} (x, y, z) \quad (18)$$

ou

$$\boldsymbol{\sigma}(x, y, z) = -z \mathbf{Q} \boldsymbol{\kappa}(x, y). \quad (19)$$

Embora a equação anterior esteja correta e já permita calcular as tensões, não é muito prática pois depende do conhecimento das curvaturas $\boldsymbol{\kappa}$. Por esse motivo, procedemos com a obtenção da relação entre os momentos e as curvaturas

1.3 Relações Momentos \times Curvaturas

No que segue, iremos obter as relações entre momentos e curvaturas de forma vetorialmente consistente.

1.3.1 Face com normal na direção X

Se considerarmos um elemento diferencial de área em um corte no plano YZ (normal na direção X), a uma altura z do plano médio, teremos um diferencial de força

$$d\mathbf{F}_x(x, y, z) = \begin{Bmatrix} \sigma_{xx}(x, y, z) \\ \sigma_{xy}(x, y, z) \\ 0 \end{Bmatrix} dA \quad (20)$$

que provoca um diferencial de momento em relação ao plano médio

$$d\mathbf{M}_x(x, y, z) = z\mathbf{k} \times d\mathbf{F}_x(x, y, z) = \begin{Bmatrix} -\sigma_{xy}(x, y, z) \\ \sigma_{xx}(x, y, z) \\ 0 \end{Bmatrix} z. \quad (21)$$

Substituindo as relações entre tensão e deformação e entre deformação e curvatura na expressão anterior

$$d\mathbf{M}_x(x, y, z) = \begin{Bmatrix} -(-zQ_{66}\kappa_{xy}(x, y)) \\ -zQ_{11}\kappa_x(x, y) - zQ_{12}\kappa_y(x, y) \\ 0 \end{Bmatrix} z \quad (22)$$

ou, passando o $-z$ em comum para fora do vetor (multiplicando o z que já estava em evidência)

$$d\mathbf{M}_x(x, y, z) = \frac{E}{1-\nu^2} \begin{Bmatrix} -\frac{1-\nu}{2}\kappa_{xy}(x, y) \\ \kappa_x(x, y) + \nu\kappa_y(x, y) \\ 0 \end{Bmatrix} (-z^2). \quad (23)$$

Se integrarmos esse diferencial de momento em relação a z iremos obter uma relação entre os momentos por unidade de comprimento Y e as curvaturas. Assim,

$$\mathbf{M}_x(x, y) = \int_{-h/2}^{h/2} d\mathbf{M}_x(x, y, z) dz \quad [Nm/m] \quad (24)$$

que resulta em

$$\mathbf{M}_x(x, y) = - \underbrace{\frac{Eh^3}{12(1-\nu^2)}}_D \begin{bmatrix} 0 & 0 & -\frac{1-\nu}{2} \\ 1 & \nu & 0 \\ 0 & 0 & 0 \end{bmatrix} \begin{Bmatrix} \kappa_x \\ \kappa_y \\ \kappa_{xy} \end{Bmatrix} = \begin{Bmatrix} M_{xy} \\ M_x \\ 0 \end{Bmatrix} \quad [Nm/m] \quad (25)$$

em que $D [Nm]$ é conhecido como rigidez flexural da placa fina. A notação dos índices para os momentos é a comumente adotada na literatura.

1.3.2 Face com normal na direção Y

O mesmo procedimento pode ser adotado em um corte com face normal à Y . Neste caso,

$$d\mathbf{F}_y(x, y, z) = \begin{Bmatrix} \sigma_{xy}(x, y, z) \\ \sigma_{yy}(x, y, z) \\ 0 \end{Bmatrix} dA \quad (26)$$

que provoca um diferencial de momento em relação ao plano médio

$$d\mathbf{M}_y(x, y, z) = z\mathbf{k} \times d\mathbf{F}_y(x, y, z) = \begin{Bmatrix} -\sigma_{yy}(x, y, z) \\ \sigma_{xy}(x, y, z) \\ 0 \end{Bmatrix} z. \quad (27)$$

Substituindo as relações entre tensão e deformação e entre deformação e curvatura na expressão anterior

$$d\mathbf{M}_y(x, y, z) = \begin{Bmatrix} -(-zQ_{21}\kappa_x(x, y) - zQ_{22}\kappa_y(x, y)) \\ -zQ_{66}\kappa_{xy}(x, y) \\ 0 \end{Bmatrix} z \quad (28)$$

ou

$$d\mathbf{M}_y(x, y, z) = \frac{E}{1-\nu^2} \begin{Bmatrix} -\nu\kappa_x(x, y) - \kappa_y(x, y) \\ \frac{1-\nu}{2}\kappa_{xy}(x, y) \\ 0 \end{Bmatrix} (-z^2). \quad (29)$$

Se integrarmos esse diferencial de momento em relação a z iremos obter uma relação entre os momentos por unidade de comprimento X e as curvaturas. Assim,

$$\mathbf{M}_y(x, y) = \int_{-h/2}^{h/2} d\mathbf{M}_y(x, y, z) dz \quad [Nm/m] \quad (30)$$

que resulta em

$$\mathbf{M}(x, y) = - \underbrace{\frac{Eh^3}{12(1-\nu^2)}}_D \begin{bmatrix} -\nu & -1 & 0 \\ 0 & 0 & \frac{1-\nu}{2} \\ 0 & 0 & 0 \end{bmatrix} \begin{Bmatrix} \kappa_x \\ \kappa_y \\ \kappa_{xy} \end{Bmatrix} = \begin{Bmatrix} M_y \\ M_{xy} \\ 0 \end{Bmatrix} \quad [Nm/m]. \quad (31)$$

1.4 Comentário importante sobre notação de sinais

As relações entre momentos e curvaturas que foram obtidas nas seções anteriores estão vetorialmente consistentes. Em resumo, após os produtos vetoriais, obtivemos

$$M_x(x, y) = \int_{-h/2}^{h/2} z\sigma_{xx}(x, y, z) dz, \quad (32)$$

$$M_y(x, y) = - \int_{-h/2}^{h/2} z\sigma_{yy}(x, y, z) dz \quad (33)$$

e

$$M_{xy}(x, y) = \pm \int_{-h/2}^{h/2} z\sigma_{xy}(x, y, z) dz \quad (34)$$

essa última dependendo da face.

No entanto, verificamos que diferentes autores utilizam notações de sinais distintas. Uma abordagem muito comum é representar os momentos em uma notação "escalar"

$$M_x(x, y) = \int_{-h/2}^{h/2} z\sigma_{xx}(x, y, z) dz, \quad (35)$$

$$M_y(x, y) = \int_{-h/2}^{h/2} z\sigma_{yy}(x, y, z) dz \quad (36)$$

e

$$M_{xy}(x, y) = \int_{-h/2}^{h/2} z\sigma_{xy}(x, y, z) dz. \quad (37)$$

Neste caso, conseguimos definir

$$\begin{Bmatrix} M_x \\ M_y \\ M_{xy} \end{Bmatrix} (x, y) = - \frac{Eh^3}{12(1-\nu^2)} \begin{bmatrix} 1 & \nu & 0 \\ \nu & 1 & 0 \\ 0 & 0 & \frac{1-\nu}{2} \end{bmatrix} \begin{Bmatrix} \kappa_x \\ \kappa_y \\ \kappa_{xy} \end{Bmatrix} (x, y) \quad (38)$$

ou

$$\boxed{\mathbf{M}(x, y) = -\mathbf{D}\boldsymbol{\kappa}(x, y).} \quad (39)$$

Essa notação de sinais de momento é representada na Figura 4.

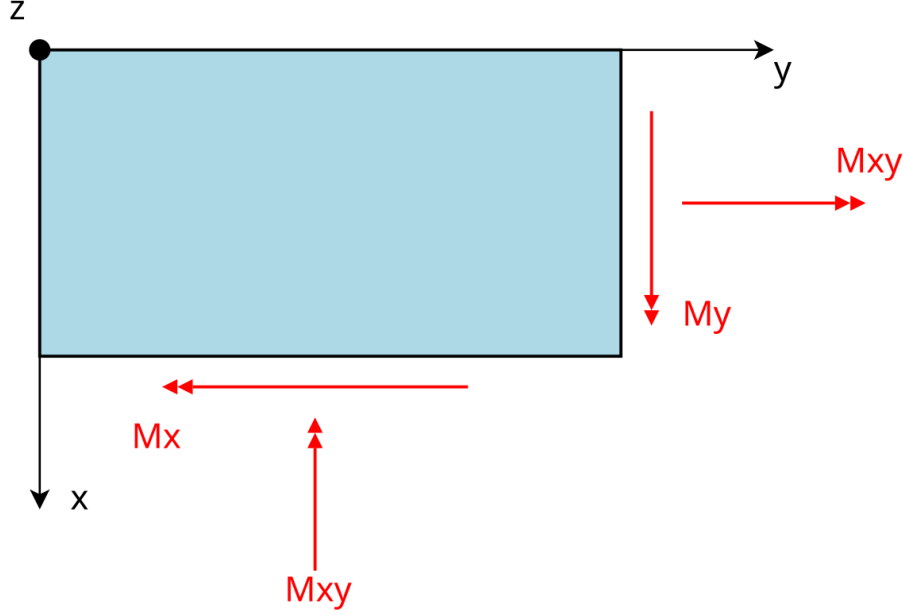


Figura 4: Convenção de sinais positivos para os momentos.

Também observamos autores (Como o livro de compósitos do Paulo de Tarso), que definem o vetor curvatura como o negativo das derivadas segundas. Assim, sugere-se atenção com as diferentes abordagens da literatura.

2 Exemplos

De forma consistente com a hipótese de carregamento adotada nas seções anteriores, vamos estudar a resposta de uma placa retangular submetida somente a momentos **constantes**.

2.1 Somente fletores M_x e M_y

Utilizando as relações entre momentos e curvaturas, Eq. 38

$$\begin{Bmatrix} M_x \\ M_y \\ 0 \end{Bmatrix} = -\frac{Eh^3}{12(1-\nu^2)} \begin{bmatrix} 1 & \nu & 0 \\ \nu & 1 & 0 \\ 0 & 0 & \frac{1-\nu}{2} \end{bmatrix} \begin{Bmatrix} \kappa_x \\ \kappa_y \\ \kappa_{xy} \end{Bmatrix} \quad (40)$$

e, invertendo essa relação, podemos obter as curvaturas

$$\boldsymbol{\kappa} = \frac{1}{D(1-\nu^2)} \begin{Bmatrix} \nu M_y - M_x \\ \nu M_x - M_y \\ 0 \end{Bmatrix}. \quad (41)$$

Utilizando agora as relações entre curvaturas e o deslocamento transversal $w(x, y)$

$$\kappa_x = \frac{\partial^2 w(x, y)}{\partial x^2} = \bar{D} (\nu M_y - M_x), \quad (42)$$

$$\kappa_y = \frac{\partial^2 w(x, y)}{\partial y^2} = \bar{D} (\nu M_x - M_y) \quad (43)$$

e

$$2 \frac{\partial^2 w(x, y)}{\partial x \partial y} = 0. \quad (44)$$

Integrando a primeira expressão $2 \times$ em relação a x , obtemos

$$\frac{\partial w(x, y)}{\partial x} = \bar{D} (\nu M_y - M_x) x + f_1(y) \quad (45)$$

e

$$w(x, y) = \frac{1}{2} \bar{D} (\nu M_y - M_x) x^2 + f_1(y)x + f_2(y) \quad (46)$$

e, integrando a segunda equação em relação a y

$$\frac{\partial w(x, y)}{\partial y} = \bar{D} (\nu M_x - M_y) y + g_1(x) \quad (47)$$

e

$$w(x, y) = \frac{1}{2} \bar{D} (\nu M_x - M_y) y^2 + g_1(x)y + g_2(x). \quad (48)$$

Por fim, integramos a terceira equação em relação a x , obtendo

$$\frac{\partial w(x, y)}{\partial y} = F_1(y) \quad (49)$$

e em relação a y

$$\frac{\partial w(x, y)}{\partial x} = F_2(x). \quad (50)$$

Agora temos que processar essas informações. Observando, temos expressões para a primeira derivada de $w(x, y)$ em relação a x . Igualando a derivada em relação a x

$$\frac{\partial w(x, y)}{\partial x} = F_2(x) = \bar{D} (\nu M_y - M_x) x + f_1(y) \quad (51)$$

que só será verdade se $f_1(y)$ for uma constante, que chamaremos de C_1 . Igualando a derivada em relação a y

$$\frac{\partial w(x, y)}{\partial y} = F_1(y) = \bar{D} (\nu M_x - M_y) y + g_1(x) \quad (52)$$

que só será verdade se $g_1(x)$ for uma constante, que chamaremos de C_2 . Com isso, podemos igualar as expressões de $w(x, y)$, obtendo

$$\frac{1}{2} \bar{D} (\nu M_y - M_x) x^2 + f_1(y)x + f_2(y) = \frac{1}{2} \bar{D} (\nu M_x - M_y) y^2 + g_1(x)y + g_2(x) \quad (53)$$

ou

$$\frac{1}{2} \bar{D} (\nu M_y - M_x) x^2 + C_1 x + f_2(y) = \frac{1}{2} \bar{D} (\nu M_x - M_y) y^2 + C_2 y + g_2(x). \quad (54)$$

Uma solução para essa igualdade é a de que a função $f_2(y)$ deva ser igual aos termos com y do lado direito e a função $g_2(x)$ deve ser igual aos termos com x no lado esquerdo (mais ou menos uma constante, que vamos chamar de C_3). Assim, podemos escrever

$$w(x, y) = \frac{1}{2} \bar{D} (\nu M_y - M_x) x^2 + C_1 x + \frac{1}{2} \bar{D} (\nu M_x - M_y) y^2 + C_2 y + C_3. \quad (55)$$

As três constantes devem ser obtidas pelas condições de contorno da placa.

Uma solução bem simples para o problema é colocarmos o sistema de referência no centro da placa e dizer que os giros são zero neste ponto, o que implica em termos o pico de deslocamento em $w(0, 0)$. Para facilitar ainda mais a nossa vida, vamos dizer que o deslocamento máximo é \bar{w} . Com isso

$$w(0, 0) = \frac{1}{2}\bar{D}(\nu M_y - M_x)0^2 + C_1 0 + \frac{1}{2}\bar{D}(\nu M_x - M_y)0^2 + C_2 0 + C_3 = \bar{w}. \quad (56)$$

$$\left. \frac{\partial w(x, y)}{\partial x} \right|_{(0,0)} = C_1 = 0, \quad (57)$$

e

$$\left. \frac{\partial w(x, y)}{\partial y} \right|_{(0,0)} = C_2 = 0. \quad (58)$$

Assim, o deslocamento é

$$w(x, y) = \bar{w} + \frac{1}{2}\bar{D}(\nu M_y - M_x)x^2 + \frac{1}{2}\bar{D}(\nu M_x - M_y)y^2 \quad (59)$$

2.2 Somente momentos M_{xy}

Utilizando as relações entre momentos e curvaturas, Eq. 38

$$\begin{Bmatrix} 0 \\ 0 \\ M_{xy} \end{Bmatrix} = -\frac{Eh^3}{12(1-\nu^2)} \begin{bmatrix} 1 & \nu & 0 \\ \nu & 1 & 0 \\ 0 & 0 & -\frac{1-\nu}{2} \end{bmatrix} \begin{Bmatrix} \kappa_x \\ \kappa_y \\ \kappa_{xy} \end{Bmatrix} \quad (60)$$

e, invertendo essa relação, podemos obter as curvaturas

$$\boldsymbol{\kappa} = \frac{2}{D(1-\nu)} \begin{Bmatrix} 0 \\ 0 \\ M_{xy} \end{Bmatrix}. \quad (61)$$

Utilizando agora as relações entre curvaturas e o deslocamento transversal $w(x, y)$

$$\kappa_x = \frac{\partial^2 w(x, y)}{\partial x^2} = 0, \quad (62)$$

$$\kappa_y = \frac{\partial^2 w(x, y)}{\partial y^2} = 0 \quad (63)$$

e

$$2\frac{\partial^2 w(x, y)}{\partial x \partial y} = \frac{2}{D(1-\nu)} M_{xy}. \quad (64)$$

Integrando a primeira expressão 2× em relação a x , obtemos

$$\frac{\partial w(x, y)}{\partial x} = C_1 + f_1(y) \quad (65)$$

e

$$w(x, y) = C_1 x + f_1(y)x + f_2(y) \quad (66)$$

e, integrando a segunda equação em relação a y

$$\frac{\partial w(x, y)}{\partial y} = C_2 + g_1(x) \quad (67)$$

e

$$w(x, y) = C_2 y + g_1(x)y + g_2(x). \quad (68)$$

Por fim, integramos a terceira equação em relação a x , obtendo

$$\frac{\partial w(x, y)}{\partial y} = \frac{1}{D(1 - \nu)} M_{xy} x \quad (69)$$

e em relação a y

$$\frac{\partial w(x, y)}{\partial x} = \frac{1}{D(1 - \nu)} M_{xy} y. \quad (70)$$

Agora temos que processar essas informações. Igualando as primeiras derivadas em relação a x

$$\frac{1}{D(1 - \nu)} M_{xy} y = C_1 + f_1(y) \quad (71)$$

de onde vemos que $C_1 = 0$ e

$$f_1(y) = \frac{1}{D(1 - \nu)} M_{xy} y. \quad (72)$$

Igualando as primeiras derivadas em relação a y

$$\frac{1}{D(1 - \nu)} M_{xy} x = C_2 + g_1(x) \quad (73)$$

de onde observamos que $C_2 = 0$ e

$$g_1(x) = \frac{1}{D(1 - \nu)} M_{xy} x. \quad (74)$$

Assim, igualando as expressões para $w(x, y)$

$$C_2 y + g_1(x)y + g_2(x) = C_1 x + f_1(y)x + f_2(y) \quad (75)$$

obtemos

$$g_1(x)y + g_2(x) = f_1(y)x + f_2(y) \quad (76)$$

ou

$$\frac{1}{D(1 - \nu)} M_{xy} xy + g_2(x) = \frac{1}{D(1 - \nu)} M_{xy} yx + f_2(y) \quad (77)$$

tal que a igualdade só é válida se $g_2(x) = f_2(y) = C_3$. Assim

$$w(x, y) = \frac{1}{D(1 - \nu)} M_{xy} yx + C_3. \quad (78)$$

3 Generalização para carregamentos transversais

As equações das seções anteriores foram obtidas com a hipótese de que só haviam momentos aplicados. No entanto, se existir um carregamento $q(x, y)$ $[N/m^2]$ aplicado na direção Z , precisaremos levar em conta as consequências da presença de tal carregamento. Para isso, vamos considerar a situação geral ilustrada na figura 5.

Seja um elemento diferencial ao longo da espessura da placa. Observamos que a presença do carregamento transversal $q(x, y)$ provoca o aparecimento de duas tensões tangenciais: σ_{xz}

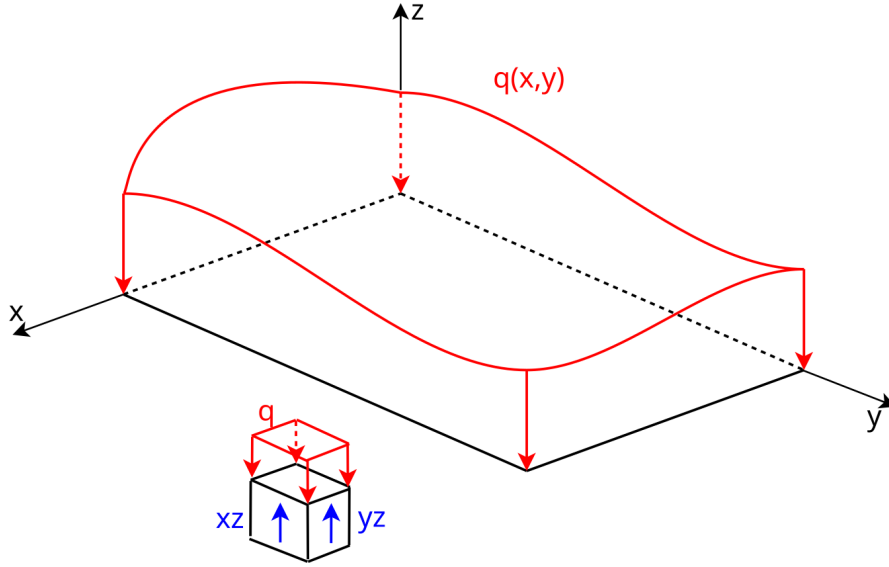


Figura 5: Carregamento $q(x, y)$ $[N/m]$ aplicado no topo da placa e tensões cisalhantes σ_{xz} e σ_{yx} em um elemento infinitesimal.

e σ_{yz} . A integral destas tensões na espessura resulta em esforços cortantes por unidade de comprimento

$$V_x(x, y) = \int_{-h/2}^{h/2} \sigma_{xz}(x, y, z) dz \quad [N/m] \quad (79)$$

e

$$V_y(x, y) = \int_{-h/2}^{h/2} \sigma_{yz}(x, y, z) dz \quad [N/m], \quad (80)$$

que são novos esforços, em adição aos momentos que obtivemos na seção anterior.

Vamos estudar o equilíbrio diferencial de tensões $\nabla \cdot \boldsymbol{\sigma} = \mathbf{0}$ em um elemento diferencial de volume, considerando todas as tensões que vimos até o momento.

Começando pela primeira linha da equação de equilíbrio de tensões

$$\frac{\partial \sigma_{xx}}{\partial x} + \frac{\partial \sigma_{xy}}{\partial y} + \frac{\partial \sigma_{xz}}{\partial z} = 0, \quad (81)$$

vamos realizar uma série de passos (que serão repetidos na segunda linha da equação de equilíbrio de tensões). Iniciamos multiplicando a equação por z , lembrando que as duas primeiras derivadas parciais são em relação a x e a y

$$\frac{\partial z \sigma_{xx}}{\partial x} + \frac{\partial z \sigma_{xy}}{\partial y} + z \frac{\partial \sigma_{xz}}{\partial z} = 0. \quad (82)$$

Integrando essa equação em relação a espessura (z), obtemos

$$\int_{-h/2}^{h/2} \frac{\partial z \sigma_{xx}}{\partial x} dz + \int_{-h/2}^{h/2} \frac{\partial z \sigma_{xy}}{\partial y} dz + \int_{-h/2}^{h/2} z \frac{\partial \sigma_{xz}}{\partial z} dz = 0 \quad (83)$$

e como as integrais são em relação a z , podemos mover as derivadas parciais relativas a x e a y para fora das integrais

$$\frac{\partial \int_{-h/2}^{h/2} z \sigma_{xx} dz}{\partial x} + \frac{\partial \int_{-h/2}^{h/2} z \sigma_{xy} dz}{\partial y} + \int_{-h/2}^{h/2} z \frac{\partial \sigma_{xz}}{\partial z} dz = 0. \quad (84)$$

Os dois primeiros termos podem ser identificados como sendo as derivadas dos momentos M_x e M_{xy} que foram obtidos nas seções anteriores, Eqs 35 e 37. Assim,

$$\frac{\partial M_x(x, y)}{\partial x} + \frac{\partial M_{xy}(x, y)}{\partial y} + \int_{-h/2}^{h/2} z \frac{\partial \sigma_{xz}}{\partial z} dz = 0. \quad (85)$$

Finalmente, podemos integrar o terceiro termo por partes

$$\int_{-h/2}^{h/2} z \frac{\partial \sigma_{xz}}{\partial z} dz = z \sigma_{xz} \Big|_{-h/2}^{h/2} - \int_{-h/2}^{h/2} \sigma_{xz} dz \quad (86)$$

e sabemos que os cisalhamentos nas extremidades da altura são nulos, pois não estamos aplicando nenhum carregamento tangencial nestas faces. Assim, utilizando a Eq. 79

$$\int_{-h/2}^{h/2} z \frac{\partial \sigma_{xz}}{\partial z} dz = - \int_{-h/2}^{h/2} \sigma_{xz} dz = -V_x(x, y) \quad (87)$$

tal que a primeira equação de equilíbrio pode ser reescrita como

$$\boxed{\frac{\partial M_x(x, y)}{\partial x} + \frac{\partial M_{xy}(x, y)}{\partial y} = V_x(x, y).} \quad (88)$$

O mesmo procedimento com a segunda equação de equilíbrio de tensões

$$\frac{\partial \sigma_{xy}}{\partial x} + \frac{\partial \sigma_{yy}}{\partial y} + \frac{\partial \sigma_{yz}}{\partial z} = 0, \quad (89)$$

resulta em

$$\boxed{\frac{\partial M_{xy}(x, y)}{\partial x} + \frac{\partial M_{yy}(x, y)}{\partial y} = V_y(x, y).} \quad (90)$$

A terceira equação do equilíbrio de tensões

$$\frac{\partial \sigma_{xz}}{\partial x} + \frac{\partial \sigma_{yz}}{\partial y} + \frac{\partial \sigma_{zz}}{\partial z} = 0 \quad (91)$$

tem uma abordagem mais simples. Integrando a expressão na espessura

$$\int_{-h/2}^{h/2} \frac{\partial \sigma_{xz}}{\partial x} dz + \int_{-h/2}^{h/2} \frac{\partial \sigma_{yz}}{\partial y} dz + \int_{-h/2}^{h/2} \frac{\partial \sigma_{zz}}{\partial z} dz = 0 \quad (92)$$

tal que

$$\frac{\partial}{\partial x} \int_{-h/2}^{h/2} \sigma_{xz} dz + \frac{\partial}{\partial y} \int_{-h/2}^{h/2} \sigma_{yz} dz + \int_{-h/2}^{h/2} \frac{\partial \sigma_{zz}}{\partial z} dz = 0, \quad (93)$$

e verificamos que

$$\frac{\partial V_x(x, y)}{\partial x} + \frac{\partial V_y(x, y)}{\partial y} + \sigma_{zz} \Big|_{-h/2}^{h/2} = 0. \quad (94)$$

O ultimo termo será igual a $-q(x, y)$ em $h/2$ e a zero na face inferior. Assim,

$$\boxed{\frac{\partial V_x(x, y)}{\partial x} + \frac{\partial V_y(x, y)}{\partial y} - q(x, y) = 0.} \quad (95)$$

Com isso, podemos inserir as Eqs. 88 e 90 na Eq. 95, resultando em

$$\frac{\partial^2 M_x(x, y)}{\partial x^2} + \frac{\partial^2 M_y(x, y)}{\partial y^2} + 2 \frac{\partial^2 M_{xy}(x, y)}{\partial x \partial y} - q(x, y) = 0. \quad (96)$$

Finalmente, podemos utilizar as relações da Eq. 38 juntamente com a Eq. 12, resultando em

$$-D \frac{\partial^4 w(x, y)}{\partial x^4} - \nu D \frac{\partial^4 w(x, y)}{\partial y^2 \partial x^2} - \nu D \frac{\partial^4 w(x, y)}{\partial x^2 \partial y^2} - D \frac{\partial^4 w(x, y)}{\partial y^4} - 2D \frac{1 - \nu}{2} \frac{\partial^4 w(x, y)}{\partial x^2 \partial y^2} - q(x, y) = 0 \quad (97)$$

ou

$$\boxed{\frac{\partial^4 w(x, y)}{\partial x^4} + \frac{\partial^4 w(x, y)}{\partial y^4} + 2 \frac{\partial^4 w(x, y)}{\partial x^2 \partial y^2} = -\frac{q(x, y)}{D}} \quad (98)$$

que também é escrita de forma compacta como

$$\boxed{\nabla^4 w(x, y) = -\frac{q(x, y)}{D}} \quad (99)$$

onde o operador $\nabla^4(\cdot)$ é chamado de operador bi-harmônico.

Um caso mais geral, onde não assumimos o material como isotrópico, leva a uma matriz \mathbf{Q} cheia e, como consequência, \mathbf{D} também o será. Essa alteração faz com que a equação diferencial se torne

$$\begin{aligned} D_{11} \frac{\partial^4 w(x, y)}{\partial x^4} + 4D_{13} \frac{\partial^4 w(x, y)}{\partial x^3 \partial y} + (2D_{12} + 2D_{33}) \frac{\partial^4 w(x, y)}{\partial x^2 \partial y^2} + \\ 2D_{23} \frac{\partial^4 w(x, y)}{\partial x \partial y^3} + D_{22} \frac{\partial^4 w(x, y)}{\partial y^4} = -q(x, y). \end{aligned} \quad (100)$$